

فصلنامه کوادرنری ایران (علمی-پژوهشی)، دوره ۲، شماره ۱، بهار ۱۳۹۵  
ص ۵۳-۶۵

## بررسی و پایش زمین‌لغزش فعال با استفاده از روش تداخل‌سنگی تفاضلی راداری (مطالعه موردی: زمین‌لغزش نقل، سمیرم)

**کورش شیرانی\***: استادیار، بخش تحقیقات حفاظت و آبخیزداری، مرکز تحقیقات و آموزش کشاورزی و منابع طبیعی، استان اصفهان  
**محبوبه خوش‌باطن**: دانشجوی کارشناسی ارشد، زمین‌شناسی مهندسی، دانشگاه اصفهان

تاریخ پذیرش: ۱۳۹۵/۰۳/۰۳ تاریخ دریافت: ۱۳۹۴/۱۰/۲۷

### چکیده

شناسایی و تأثیر زمین‌لغزش‌های فعال یکی از جلوه‌های مهم فرسایش در تهدید مناطق مسکونی، صنایع و تخریب جاده‌های ارتباطی است. پیدین منظور فن تداخل‌سنگی تفاضلی راداری (DInSAR) با برخورداری از پژوهش‌زنی وسیع و تیز قدر تفکیک زمانی و مکانی تیزد، یکی از دقیق‌ترین و کم‌هزینه‌ترین فنون سنجش از دور، برای شناسایی و تماش جایه‌جایی‌های به وجود آمده در سطح زمین است. هدف از انجام این پژوهش شناسایی مقدماتی محدوده لغزشی نقل و پراوره میزان فعالیت تاشی از این توده لغزشی است. بنابراین، در این پژوهش میزان جایه‌جایی سطحی تاشی از زمین‌لغزش نقل واقع در ۷۰ کیلومتری جنوب شهر خنا در شهرستان سمیرم، با استفاده از تکنیک تداخل‌سنگی تفاضلی راداری محاسبه شد. پیدین منظور، تعداد ده تصاویر راداری از سنجنده ASAR ENVISAT انتخاب و به روشن DInSAR پردازش شد. نتیجه پردازش‌های اولیه ت Shan داد از پیش ۲۰۰۰ زوج های تصویری تشکیل شده، در مجموع نه ۲۰۰۰ زوج تداخل‌سنگ در سال‌های ۲۰۱۱، ۲۰۱۰ و ۲۰۱۲ میلادی مناسب پردازش‌های بعدی شناخته شد. بر اساس نتایج پردازش تصاویر راداری، پیشترین میزان جایه‌جایی صورت گرفته در سطح توده لغزشی نقل مربوط به ۲۰۱۱ آگوست ۳۱ دسامبر ۲۰۱۱ با بازه زمانی ۱۵۰ روزه، معادل ۸ سالانه متر بوده است. نتایج این پژوهش حاکی از فعال بودن توده لغزشی نقل در طول سدت زمان اخذ تصاویر راداری است. همچنین ت Shan داد، داده‌های راداری و دوش پردازش تداخل‌سنگی تفاضلی در شناسایی، پایش زمین‌لغزش‌ها و محاسبه میزان جایه‌جایی آن‌ها از پتانسیل خوبی برخوردار است.

**کلمه‌های کلیدی:** تصاویر راداری، دوش، زمین‌لغزش نقل، سنجنده ASAR، ماهواره ENVISAT.

### مقدمه

یکی از فرایندهای بیرونی که موجب تغییر شکل سطح زمین می‌شود و اشکال و لندهای خاصی را به وجود می‌آورد، زمین‌لغزش است. به عبارتی دیگر، زمین‌لغزش یکی از خطرات طبیعی است که همه ساله خسارات جانی و مالی فراوانی را در مناطق کوهستانی، پریاران و لرستان خیز دنیا به همراه دارد. همچنین، حرکات توده‌ای، بهویژه رخداد زمین‌لغزش‌های فعال در دوران کواترنری، نقش مؤثری در تخریب جاده‌های ارتباطی، مراتع، ایجاد فرسایش و رسوب در حوضه‌های آبخیز داشته است و یکی از مهم‌ترین عوامل تغییردهنده فعال در لندهای کواترنر به شمار می‌رود (شیرانی، ۱۳۹۲). بنابراین، در مناطقی که خطر ناشی از زمین‌لغزش بالاست، روش‌های نقشه‌برداری در ارزیابی دقیق مکان شکستگی‌های شیب و اندازه زمین‌لغزش‌ها، همچنین برآورد میزان فعالیت و ویژگی‌های جایه‌جایی آن‌ها، بسیار لازم است. از آنجا که رخداد گروهی از زمین‌لغزش‌ها به واسطه حرکت کند و بطئی به سهولت قابل درک و شناسایی نیست، اندازه‌گیری میزان حرکت آن مستلزم مطالعات و ابزارهای خاصی است. تاکنون روش‌های گوناگونی برای شناسایی و

\* نویسنده مسئول: k\_sh424@yahoo.com

پایش پدیده زمین‌لغزش و در نهایت تهیه نقشه‌های خطر ارائه شده است. از جمله روش تاکئومتری، ترازیابی، فتوگرامتری برد کوتاه، مشاهدات حاصل از شبکه‌های ژئودتیکی (GPS)، تداخل‌سنگی راداری و لیدار (خوانین زاده، ۱۳۹۰).

در اوایل، شناسایی لغزش‌ها بیشتر بر اساس تفسیر بصری زوج‌های استریوویی عکس‌های هوایی و از طریق مشاهدات صحرایی صورت می‌گرفت. هر چند تفسیر بصری عکس‌های هوایی در ترکیب با بررسی‌های صحرایی، تا به امروز نیز یکی از منابع اصلی در نقشه‌برداری زمین‌لغزش‌ها باقی‌مانده است. اما، این منابع اطلاعاتی ضمن اینکه برای اکثر مناطق دنیا به صورت به‌هنگام در دسترس نیست، تهیه آن نیز برای مناطق گستره هزینه زیادی در برخواهد داشت (هونگ و همکاران، ۲۰۰۷).

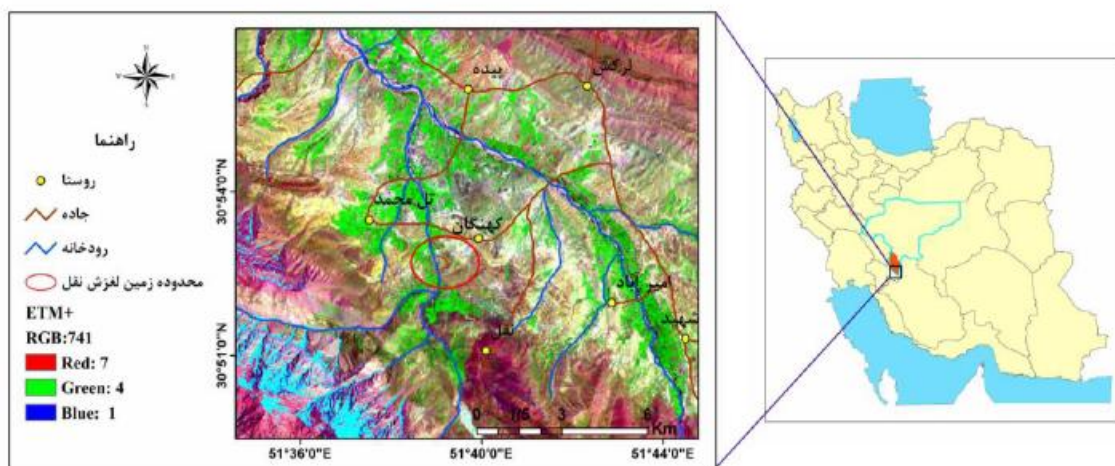
در دهه گذشته با فرآگیرشدن ابزار GPS امکان پایش زمین‌لغزش با هدف رفتار سنگی مورد توجه قرار گرفت. این تکنیک هر چند به لحاظ دقت، مورد قبول و تأیید بود، به لحاظ مسائلی چند مانند هزینه بالای اجرا در نصب و پایش ایستگاه‌های دائم، عدم سهولت در تعیین دامنه و گستره زمین‌لغزش، نابه‌سامانی در دوره زمانی پایش به واسطه تغییر در بودجه و اعتبارات سالانه و در نهایت، عدم نظارت و مدیریت پیوسته از گذشته تا حال موفق نبوده و از حد چند مورد و تعدادی محدود از سال‌ها تجاوز نکرده است (شیرانی و همکاران، ۱۳۹۳).

از میان تکنیک‌های دور‌سنگی، تداخل‌سنگی تفاضلی راداری (DInSAR) که قابلیت کار در تمام شرایط بد جوی و طول مدت شب و روز را دارد، از جمله تکنیک‌های مؤثر و کارآمد در پایش تغییرات آرام سطح زمین محسوب می‌شود، به‌گونه‌ای که این روش با برخورداربودن از پوشش زمینی وسیع و نیز قدرت تفکیک زمانی و مکانی زیاد، یکی از دقیق‌ترین (در مقیاس میلی‌متر) و کم‌هزینه‌ترین فنون سنجش از دور در شناسایی جابه‌جایی‌های اتفاق افتاده در سطح زمین به کار رفته است (گابریل و همکاران، ۱۹۸۹). ساده‌ترین روش در این زمینه استفاده از حداقل دو تصویر حاصل از سنجنده‌های راداری با روزنامه‌های مجازی به صورت تداخل‌نگار است (مسونت و فیگل، ۱۹۹۸). با توجه به پیشرفت‌های اخیر در تکنیک تداخل‌سنگی راداری نظریه تداخل‌سنگی تفاضلی راداری (DInSAR)، در زمینه شناسایی و پایش زمین‌لغزش‌ها پژوهش‌های متعددی انجام پذیرفته است (کیمورا و یاماگوچی، ۲۰۰۰؛ سینقروری و مولچ، ۲۰۰۴؛ کولسانتی و واسواسکی، ۲۰۰۶؛ ریدل و والتر، ۲۰۰۸؛ پلانک و همکاران، ۲۰۱۰؛ ژائو و همکاران، ۲۰۱۲؛ آردیزون و همکاران، ۲۰۱۲؛ هررا و همکاران، ۲۰۱۳؛ پوتری و همکاران، ۲۰۱۳؛ جبور و همکاران، ۲۰۱۴). بررسی زمین‌لغزش‌ها به کمک رادار در ایران انگشت‌شمار بوده است. از جمله محققانی که به کمک روش تداخل‌سنگی تفاضلی راداری، اقدام به شناسایی، پایش و تهیه نقشه پراکنش زمین‌لغزش‌ها کردند و نتایج قابل توجهی به دست آورده‌اند می‌توان به پژوهش‌های شیرانی (۱۳۹۲)، شیرانی و همکاران (۱۳۹۳) و روستایی و همکاران (۱۳۹۲) اشاره کرد.

در همین راستا، این پژوهش با هدف بررسی و پایش زمین‌لغزش نقل واقع در منطقه پادنای سمیرم با استفاده از تکنیک تداخل‌سنگی تفاضلی راداری (DInSAR) انجام گرفت. در این پژوهش، ضمن اندازه‌گیری حداکثر میزان جابه‌جایی زمین‌لغزش نقل و برآورد میزان فعالیت ناشی از حرکت این توده لغزشی در طول مدت زمان اخذ تصاویر راداری، نقشه جابه‌جایی زمین‌لغزش نیز تهیه شد.

## مواد و روش‌ها

منطقه مورد مطالعه با وسعتی در حدود ۱۱ هکتار در شمال روستای نقل از توابع دهستان پادنای شهرستان سمیرم و در فاصله ۳۰۰ کیلومتری جنوب شهر اصفهان واقع شده است. این محدوده دارای مختصات چهارگیجی "۱۰°۳۹'۵۱" و "۳۹°۵۲'۳۰" عرض شمالی است. بهترین راه دسترسی به این منطقه از طریق جاده اصفهان- شهرضا- سمیرم- حنا- کیفته- نقل امکان‌پذیر است (شکل ۱). متوسط میزان بارش سالیانه در این منطقه ۵۵۰ میلی‌متر و بیشترین مقدار آن ۷۰۰ میلی‌متر است. رودخانه ماربر در امتداد غربی زمین‌لغزش نیز از آن سرچشمه می‌گیرد، به‌طوری که این رودخانه از پنجه دامنه عبور می‌کند و دائم در حال فرسایش و تخریب پنجه نیز است.



شکل ۱. موقعیت جغرافیایی منطقه مورد مطالعه

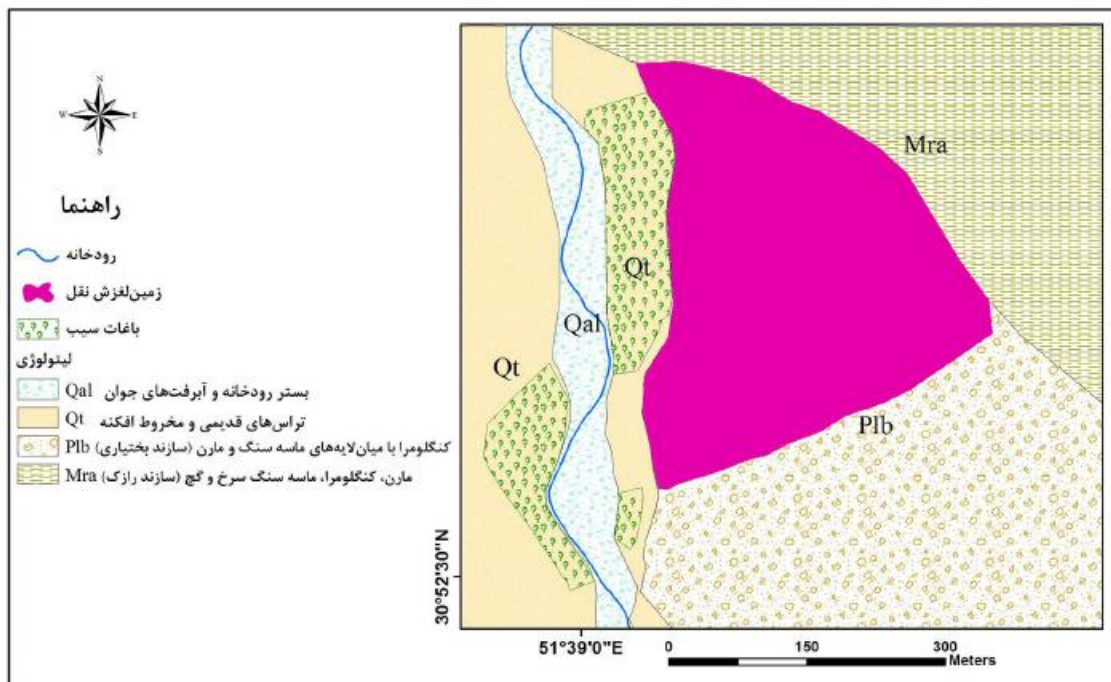
زمین‌لغزش نقل از لحاظ مورفولوژی تقریباً به شکل مثلث با زاویه رأس به سمت شرق است. قاعده آن با طول حدود ۷۰۰ متر در سمت غرب و به سمت رودخانه ماربر قراردارد. بلندترین نقطه ارتفاعی در این توده لغزشی در رقوم ارتفاعی ۲۳۵۰ متر و پست‌ترین آن در پنجه لغزش و در رقوم ۲۲۰۵ متر قراردارد. بر این اساس اختلاف ارتفاع بین تاج و پاشنه زمین‌لغزش ۱۴۵ متر است. همچنین، میانگین شبکه دامنه ۲۷ درجه است.

بر اساس نقشه زمین‌شناسی منطقه مورد مطالعه (شکل ۲)، سازندهای موجود در این منطقه عمدتاً از رخساره‌های رسوبی سنوزوییک است. در محدوده زمین‌لغزش نقل عمدتاً سازندهای رازک و بختیاری و نهشته‌های کواترنری بروونزد دارد، به طوری که پدیده زمین‌لغزش در منطقه، در سازند بختیاری ایجاد شده است. لازم به ذکر است که در این منطقه سازند بختیاری در اثر عملکرد روراندگی در زیر سازند رازک قرارگرفته است. بر این اساس زمین‌لغزش نقل در مجاورت زون رورانده بین سازند رازک و بختیاری رخ داده است. سازند بختیاری در منطقه مورد مطالعه شامل کنگلومراهای توده‌ای تا ضخیم‌لایه با میان‌لایه‌های مارن و ماسه‌سنگ و سازند رازک نیز شامل مارن، کنگلومرا، ماسه‌سنگ سرخ و گچ است. در شکل ۲ نقشه زمین‌شناسی محدوده زمین‌لغزش نقل و موقعیت رودخانه ماربر در پنجه این توده لغزشی و باغات سیب واقع در پایین دست زمین‌لغزش نشان داده شده است.

همچنین، منطقه مورد مطالعه از لحاظ تقسیم‌بندی زمین‌ساختاری ایران، در زون زاگرس مرتفع واقع شده است؛ بنابراین، از نظر تکتونیکی پویا و فعال است، به طوری که این محدوده در بین گسل اصلی تراستی دنا در جنوب‌غرب و گسل‌های فرعی کوه سیاه و بیده در شمال‌شرق واقع شده است. بر این اساس، منطقه پادنای سمیرم به‌دلیل ویژگی‌های زمین‌شناسی، توپوگرافی و زمین‌ساختی از جمله مناطقی است که در آن زمین‌لغزش‌های فعال گسترش زیادی دارد.

در این پژوهش به‌منظور پایش و تعیین میزان جابه‌جایی ناشی از حرکت توده لغزشی نقل از روش پردازش تداخل‌سنگی تفاضلی رادار و تصاویر راداری سنجنده ASAR ENVISAT با طول موج باند C در حالت مدار نزولی استفاده شده است. تداخل‌سنگی راداری یا همان اینترفرومتری روش استفاده از اختلاف فاز سیگنال‌های برگشته از سطح زمین در دو تصویر SAR گرفته شده با تأخیر زمانی یا دارای پارالاکس از یک منطقه برای استخراج ارتفاع یا اطلاعات مربوط به تغییرات سطح زمین اطلاق می‌شود (روستایی و همکاران، ۱۳۹۲).

رادار با دهانه ترکیبی (SAR) نوعی سیستم تصویربرداری فعال پهلوونگر است که سیگنال‌های میکروموج را در فواصل زمانی معین در طول مسیر حرکت به صورت پالس‌هایی به طرف سطح زمین ارسال و سیگنال‌های برگشته به آتن را در دو حالت دامنه و فاز ثبت می‌کند. اساس کار این روش، استفاده از اطلاعات فاز راداری بازتابی از زمین است، به نحوی که تغییرات ایجادشده در سطح زمین سبب اختلاف فاز در دو تصویر رادار در دو زمان مختلف از منطقه‌ای مشابه می‌شود. با بررسی اختلاف فاز و مدل‌سازی آن، تغییرات سطح زمین کمی‌سازی می‌شود. به کمک تکنیک تداخل‌سنگی راداری تصویری به نام تداخل‌نگار ساخته می‌شود. تداخل‌نگار تصویری است حاوی اختلاف فاز دو تصویر راداری که



شکل ۲. نقشه زمین‌شناسی محدوده زمین‌لغزش نقل به همراه موقعیت روادخانه ماربر و باغات سبب واقع در پایین دست این توده لغزشی

به دقت نسبت به هم ثبت هندسی شده است. به عبارتی دیگر، مقدار تغییرات مربوط به فاصله عارضه تا سنجنده راداری در تداخل‌نگار موجود است. این تغییرات مربوط به خطای مداری ماهواره ( $\Delta\varphi G$ )، اثر توپوگرافی ( $\Delta\varphi T$ )، جابه‌جایی عارضه ( $\Delta\varphi D$ ) و آثار اتمسفری ( $\Delta\varphi Atm$ ) است. به منظور استخراج میزان تغییرات سطح باید تمام آثار دیگر از تداخل‌نگار حذف شود (دهقانی و همکاران، ۱۳۸۵). رابطه (۱) بیانگر عوامل تأثیرگذار در به وجود آمدن اختلاف فاز میان دو تصویر راداری است.

$$\Delta\varphi = \Delta\varphi G + \Delta\varphi T + \Delta\varphi Atm + \Delta\varphi D + \Delta\varphi noise \quad (1)$$

از بین آثار فوق، توپوگرافی و جابه‌جایی عارضه (دگرگشکلی) مؤثرترین عوامل است که با استفاده از روش تداخل‌سنجی راداری (DInSAR) و با به حداقل رساندن خط مبنای عمودی زوج تصاویر انتخابی می‌توان قسمت اعظم تأثیر توپوگرافی در ایجاد اختلاف فاز را از بین برد. همچنین، به منظور بهبود نتایج می‌توان از مدل ارتفاعی رقومی زمین استفاده کرد. بدین ترتیب، باقی‌مانده اثر توپوگرافی نیز از تصاویر تداخل‌نگار ایجاد شده حذف می‌شود. در این پژوهش، از مدل ارتفاعی رقومی (DEM) تصاویر ASTER با دقت ارتفاعی ۳۰ متر استفاده شد. در نهایت، آنچه در تصاویر تداخل‌نگار مشهود خواهد بود مربوط به اختلاف فاز ناشی از دگرگشکلی یا جابه‌جایی زمین در راستای دید سنجنده است. لازم به ذکر است که در روش تداخل‌سنجی راداری، آشکارسازی تغییرات سطح زمین، تنها در راستای دید ماهواره بیشترین حساسیت را دارد (پلانک و همکاران، ۲۰۱۰).

داده‌های راداری مورد نیاز این پژوهش با ارائه پروپوزال به سازمان فضایی اروپا (ESA) و بررسی و موافقت آن‌ها فراهم شده است. بررسی مشخصات تصاویر راداری موجود در محدوده مورد مطالعه و سفارش آن با نرم‌افزار EOLI-SA انجام شد. در نتیجه آن، ده تصویر راداری از سنجنده ASAR سفارش داده شد.

تکنیک مورد استفاده در این پژوهش روش تداخل‌سنجی تفاضلی رادار با گشودگی ترکیبی دو عبوره مکرر (Two Pass DInSAR) است (گابریل و همکاران، ۱۹۸۹). در روش دو عبوره تنها از دو تصویر SAR برای محاسبه دگرگشکلی

استفاده و مدل ارتفاعی رقومی برای حذف مؤلفه توپوگرافی وارد پردازش می‌شود. در نهایت، تداخل‌نگار تشکیل می‌شود (شکل ۳). به‌منظور انجام گام‌به‌گام روش دو عبوره، ابتدا دو تصویر به دقت نسبت به هم ثبت هندسی و هر دو تصویر با یکدیگر هم‌مرجع شد. سپس، فاز مصنوعی ایجاد شد. تصویر اول (تصویر اصلی) مرجع هندسی و تصویر دوم تصویر فرعی محسوب می‌شود. بدین ترتیب، تداخل‌نگار مسطح شده‌ای حاصل می‌شود که حاوی نوشهایی است که باعث پایین‌آمدن کیفیت بصری فرینچ‌ها می‌شود. هر فرینچ یک چرخه رنگ کامل از آبی (صفر رادیان) تا قرمز  $2\pi$  (رادیان) را نشان می‌دهد و بیانگر سیکل اختلاف فاز است. مقدار هر فرینچ برابر با نصف طول موج تصویر راداری مورد استفاده است. بدین منظور، در ادامه کار از فیلتر تطبیقی برای حذف نوشه تداخل‌نگار مسطح شده استفاده شد. این عمل به‌طور معناداری باعث بهبود کیفیت فرینچ تداخل‌نگار شد. همچنین، باعث حذف نوشهایی خواهد شد که منشأ آن به‌دلیل عدم همبستگی ناشی از پارامترهای مربوط به خط مبنای است. همچنین، با عمل فیلترگذاری نقشه همدووسی تهیه شد (نقشه یا تصویری که پیکسل‌های آن نمایانگر درجه همبستگی بین دو سیگنال دریافتی برای دو تصویر است). فاز تفاضلی دارای ابهام اندازه‌گیری در تعیین جایه‌جایی سطح زمین به نام پیچش است. از آنجا که تغییرات فاز به صورت مضربی از  $2\pi$  ( $6/28$ ) اندازه‌گیری می‌شود و تعداد دقیق چرخه‌های فاز در هر اندازه‌گیری از دست می‌رود، تداخل‌نگار بدون انجام فرایندی برای بازیافتد چرخه‌های از دست رفته به نقشه تغییر شکل تبدیل نمی‌شود. لذا، لازم است این فاز برای مقادیر بزرگ‌تر از  $2\pi$  بازیابی شود. فرایند بازیابی موجب رفع ابهام فاز (فاز بازیابی شده) می‌شود. این مقدار متناسب با میزان تغییر شکل قائم سطح زمین است. به‌منظور تبدیل صحیح فاز بازیابی شده به مقادیر ارتفاعی و محاسبات میزان جایه‌جایی سطح زمین، حتماً لازم است مرحله پایش یا تستیح مجدد اجرا شود. اجرای این مرحله باعث می‌شود تا خطاهای احتمالی مداری تصحیح و مقدار انحراف فاز محسوب شود تا این طریق مقادیر فار مطلق به‌دست آید. برای اجرای این پروسه حتماً باید از نقاط کنترل زمینی (GCP) استفاده شود. این نقاط برای تصحیح پارامترهای موردنظر در تنظیمات فرایند پایش از قبیل تصحیح خطای مداری سنجنده استفاده می‌شود. مراحل مختلف پردازش تداخل‌سنگی تفاضلی راداری دو عبوره برای تصاویر ASAR به‌منظور پایش و محاسبه میزان جایه‌جایی زمین‌لغزش نقل با استفاده از نرم‌افزار SARscape 5 در شکل ۳ نشان داده شده است.

### نتایج حاصل از پردازش تصاویر ماهواره‌ای

به‌منظور اجرای روش DInSAR ابتدا باید بین هر زوج تصویر راداری (تصویر اصلی و فرعی) به دو اصل توجه داشت که نخست، خط مبنای زمانی و مورد دوم خط مبنای مکانی است. در این پژوهش نیز ابتدا قابلیت و کیفیت تصاویر راداری مورد استفاده برای تهیه تداخل‌نگار با محاسبه مقادیر خط مبنای مکانی آن‌ها بررسی شد (جدول ۱). البته، لازم به ذکر است که علاوه‌بر خط مبنای مکانی مناسب برای هر زوج تصویر، لازم است به خط مبنای زمانی مناسب، یعنی اختلاف زمانی میان تصاویر کمتر از یک‌سال و ترجیحاً شش ماه نیز توجه داشت. این موضوع به کاهش عدم همبستگی و افزایش همدووسی فاز بین دو تصویر برمی‌گردد (لیو و همکاران، ۲۰۱۳). همچنین، دوره‌های زمانی مناسب با کمترین تاج پوشش گیاهی و تغییرات آن و حداقل پوشش برف روی سطح زمین به کاهش عدم همبستگی و افزایش همدووسی کمک خواهد کرد. با توجه به نتایج حاصل از بررسی خط مبنای زمانی و مکانی فوق در تصاویر ASAR از بین دوازده زوج تداخل‌نگار تشکیل شده در تاریخ‌های ۲۰۰۴، ۲۰۱۰، ۲۰۱۱ و ۲۰۱۰، در مجموع نه زوج تداخل‌نگار پس از کنترل پارامترهای حاصل از خط مبنای و همدووسی برای پردازش‌های بعدی مناسب تشخیص داده شد و مبنای تهیه نقشه جایه‌جایی زمین‌لغزش قرار گرفت. پس از انتخاب زوج‌های تداخل‌نگار (تداخل‌سنچ) مناسب بر مبنای خط مبنای زمانی و مکانی کم، در مرحله بعدی از پردازش این تصاویر و به‌منظور حذف اثر توپوگرافی از تداخل‌نگار، از روش تهیه تداخل‌نگار همراه با مدل ارتفاعی رقومی (ASTER DEM) با قدرت تفکیک مکانی  $30$  متری استفاده شد. خروجی این مرحله از کار در قالب تداخل‌نگار تفاضلی (DInSAR) به صورت تداخل‌نگار مسطح شده‌ای است که در آن فاز ثابت (به‌دلیل هندسه تصویربرداری) و فاز توپوگرافی از تداخل‌نگار حذف شده است. از آنجا که تداخل‌نگار مسطح شده حاوی نوشهایی است که باعث پایین‌آمدن کیفیت بصری فرینچ‌ها می‌شود، بدین منظور در ادامه کار فیلتر تطبیقی گلدنستاین برای حذف نوشه تداخل‌نگار مسطح شده اعمال شد. همچنین، با عمل فیلترگذاری نقشه همدووسی نیز تهیه شد.



شکل ۳. نمودار گردشی پردازش به روشن تداخل‌سنگی تفاضلی دو عبوره برای تصاویر ASAR

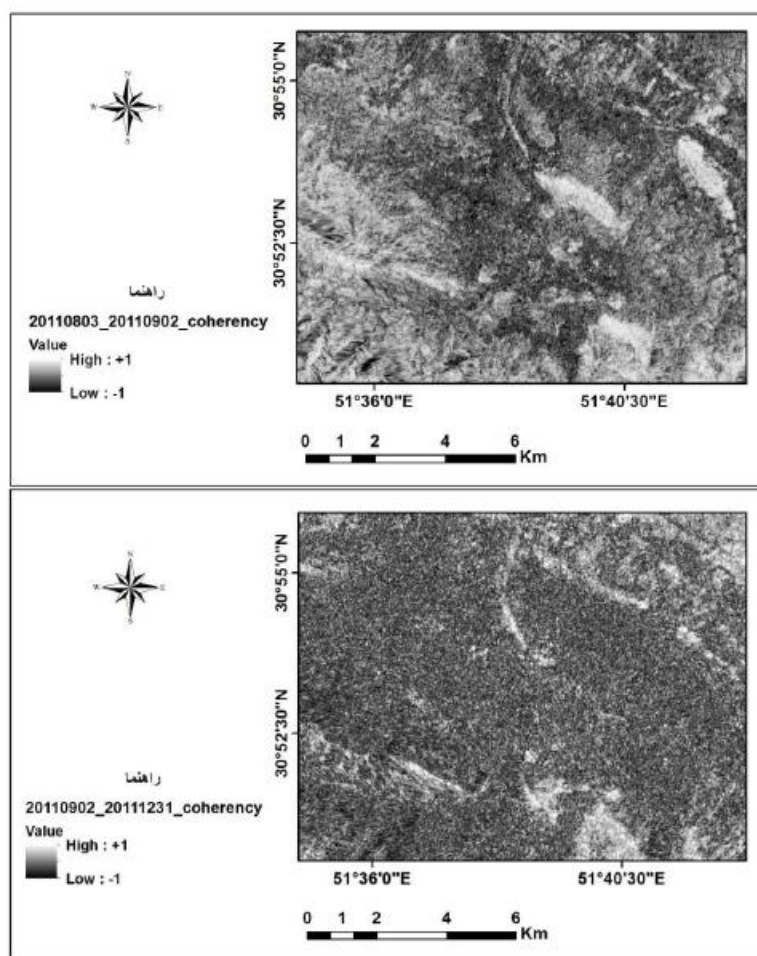
جدول ۱. مشخصات زوج‌های انتخابی تداخل‌نگاری تصاویر ASAR و پارامترهای مرتبط با خط مبنا از دو گذر مختلف در منطقه مورد مطالعه. تصاویر با علامت \* گذر ۱۳۵ و بدون علامت \* گذر ۳۳۵ است.

تصویر اصلی	تصویر فرعی	خط مبنای عمودی	خط مبنای بحرانی	خط مبنای زمانی	متوسط همدوسي
		(متر)	(متر)	(روز)	
۲۰۰۴/۶/۱۰	۲۰۰۴/۷/۱۵	۳۱۹/۹۷۵	۹۳۱/۴۸۷	۹۳۱/۴۸۷	۰/۵۱
۲۰۰۴/۶/۱۰	۲۰۰۴/۱۰/۲۸	۱۰۸/۳۸۶	۹۳۱/۴۸۷	۹۳۱/۴۸۷	۰/۴۷
۲۰۰۴/۷/۱۵	۲۰۰۴/۱۰/۲۸	۴۲۶/۳۷	۹۳۱/۱۹۴	۹۳۱/۱۹۴	۰/۴۲
۲۰۱۰/۵/۲۰	۲۰۱۰/۶/۲۴	۱۴۵/۷۴۶	۹۳۱/۰۶۴	۹۳۱/۰۶۴	۰/۵۶
۲۰۱۰/۵/۲۰	۲۰۱۰/۱۰/۷	۱۱۵/۱۴۸	۹۳۱/۰۶۴	۹۳۱/۰۶۴	۰/۴۴
۲۰۱۰/۶/۲۴	۲۰۱۰/۱۰/۷	۲۶۰/۴۴۷	۹۳۱/۲۴۹	۹۳۱/۲۴۹	۰/۵
۲۰۱۱/۸/۳*	۲۰۱۱/۹/۲*	۱۳۹/۰۵۹	۲۰۹۷/۶۲۷	۲۰۹۷/۶۲۷	۰/۶۶
۲۰۱۱/۸/۳*	۲۰۱۱/۱۲/۳۱*	۳۲۲/۶۳۲	۲۰۹۷/۶۲۷	۲۰۹۷/۶۲۷	۰/۳۷
۲۰۱۱/۹/۲*	۲۰۱۱/۱۲/۳۱*	۳۹۲/۸۷۱	۲۰۹۶/۷۰۱	۲۰۹۶/۷۰۱	۰/۳۵

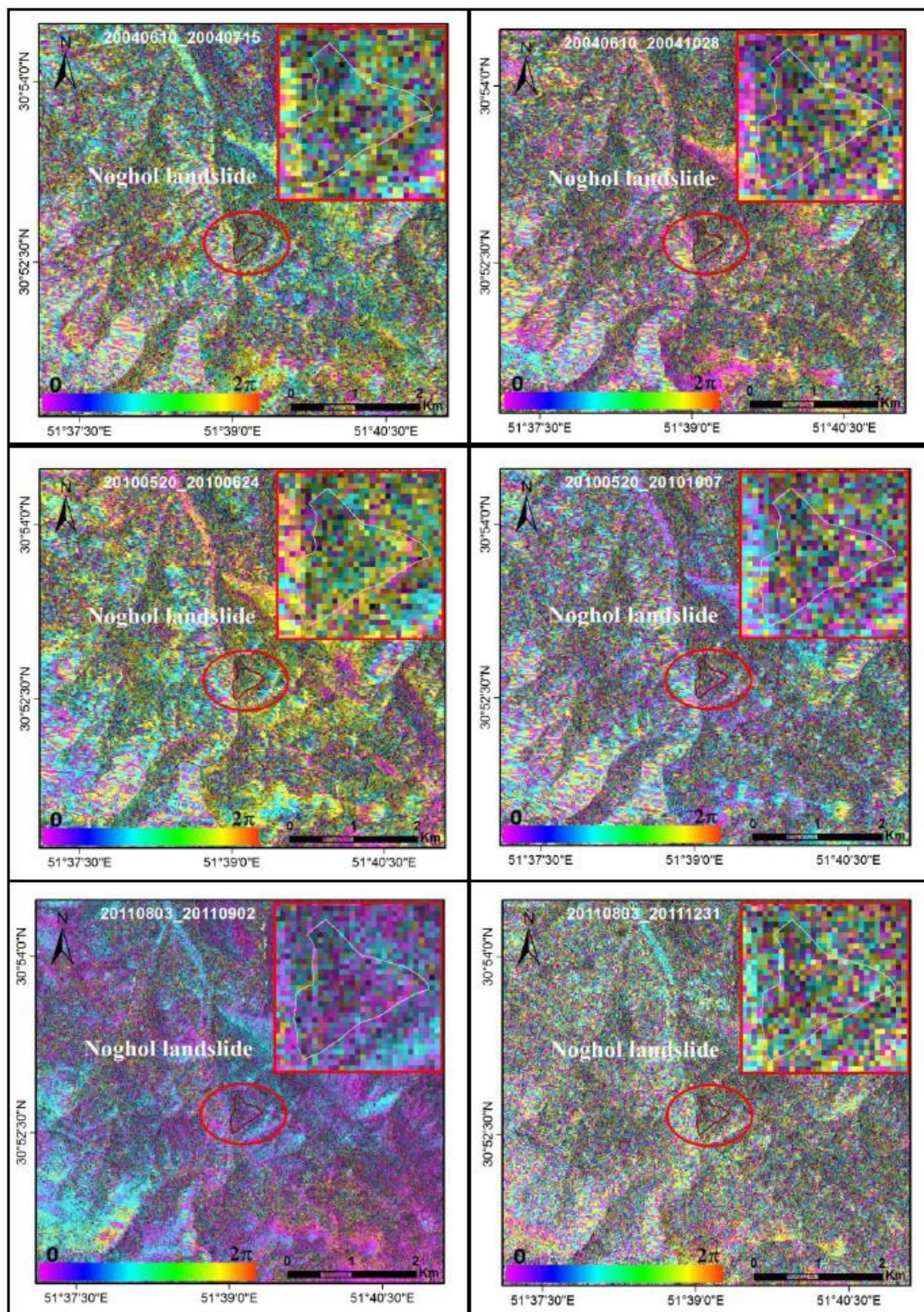
در این پژوهش نیز از بین تداخل‌سنگ‌های انتخاب شده از سنجنده ASAR (جدول ۱) تداخل‌سنگ تاریخ ۲۰۱۱/۸/۳ و ۲۰۱۱/۹/۲ بیشترین همدوسي را با میانگین عددی ۶۶/۰ دارد. با توجه به تاریخ دو تصویر که مربوط به ماههای شهریور و مهر است، پوشش گیاهی تغییرات رویشی نداشته است و پوشش برفی سطح زمین در مناطق مرتفع حداقل بوده یا وجود ندارد. از طرف دیگر، فاصله زمانی بین دو تصویر نیز سی روزه است. این شرایط موجب می‌شود تا دو زوج تداخل‌نگار همیستگی خوب و در پی آن همدوسي زیادی داشته باشد. در نتیجه، جایه‌جایی‌های ارتفاعی سطح زمین (زمین‌لغزش‌ها) در طول این زمان بهتر نمایان می‌شود. همچنین، از بین تداخل‌سنگ‌های دارای همدوسي ضعیف می‌توان به زوج تصویر ۲۰۱۱/۹/۲ - ۲۰۱۱/۱۲/۳۱ اشاره کرد که دارای همدوستی میانگین ۳۵/۰ است. علت همدوستی ضعیف

این زوج تصویر ناشی از وجود پوشش برف و احتمالاً بارندگی روی پوشش برفی و مدت زمان طولانی بین دو تاریخ زوج هاست. تاریخ تصویربرداری این دو زوج تصویر مربوط به ماه‌های مهر و دی بوده است، همچنین، اختلاف زمانی بین دو تصویر نیز ۱۲۰ روز است. در شکل ۴ نقشه همدوسي منطقه مورد مطالعه، برای زوج‌های تداخل‌نگاری با همدوسي زیاد و همدوسي ضعیف نشان داده شده است. دامنه عددی این نقشه‌ها بین  $-1 + 1$  است. مقادیر مثبت همبستگی بالا و مقادیر منفی پایین‌بودن همبستگی را نشان می‌دهد.

با توجه به نتایج حاصل، تا این مرحله و انتخاب زوج‌های تصویری مناسب، یعنی زوج تصویری که خط مبنای عمودی آن‌ها کمتر از یک‌دوم خط مبنای بحرانی و دارای همدوسي بالايی است اقدام به اجرای روش DInSAR با استفاده از نرم‌افزار SARscape 5 در محیط ENVI 5 برای تهیه نقشه جابه‌جايی زمین‌لغزش در دوره‌های زمانی مربوط شد. بدین ترتیب، پس از انجام فرایند بازیابی فاز، به‌منظور رفع خطای نویه ( $\Delta\phi_{noise}$ ) با انتخاب نقاط کنترل زمینی (GCP) فاز ویرایش شد. سپس، به‌منظور تفکیک سیگنال تغییر شکل، مؤلفه توپوگرافی به‌کمک (ASTER- DEM) تسطیح و پالایش شد. برای این منظور DEM با تصویر اصلی رادار نمونه‌برداری مجدد شد و فاز توپوگرافی مرجع را ایجاد کرد. تداخل‌نگار تفاضلی از تفرق فاز توپوگرافی مرجع و تداخل‌نگار (تداخل‌نگار مسطح شده) حاصل می‌شود. نمایش این عملکرد در تصویر به صورت فریتچ‌ها متجلی می‌شود. در شکل ۵ نمایی از تداخل‌نگار تفاضلی حاصل از تفرق فاز توپوگرافی مرجع و تداخل‌نگار مسطح شده مربوط به زوج‌های تصویری با همدوسي بالا همراه با محدوده زمین‌لغزش نقل با بزرگنمایی بیشتر و در پنجره‌ای جداگانه نشان داده شده است.



شکل ۴. نقشه همدوسي زوج‌های تداخل‌نگاری ۲۰۱۱/۸/۳ ۲۰۱۱/۹/۲ ۲۰۱۱/۹/۳۱ ۲۰۱۱/۹/۲ و ۲۰۱۱/۱۲/۳۱ (شکل بالا) و ۲۰۱۱/۱۲/۳۱ ۲۰۱۱/۱۲/۳۱ (شکل پایین)



شکل ۵. نمایی از تداخل نگار تفاضلی تشکیل شده و مربوط به زوج های تصویری با همدوسی بالا در سال های مختلف به روش تداخل سنجی تفاضلی تصاویر ASAR

همان طور که در شکل ۵ نیز مشاهده می‌شود، فرینچ‌های تشکیل شده در اینترفروگرام‌های تفاضلی الگوی مبهمی دارد و در محدوده زمین‌لغزش نقل فرینچ کامل و واضحی تشکیل نشده است. دلیل این امر نامنظم بودن فروافتادگی‌ها و پراکنده بودن آن‌ها در قسمت‌های مختلف سطح توده لغزشی است، به طوری که می‌توان گفت زمین‌لغزش نقل در اصل زمین‌لغزش ثبیت‌شده قدیمی بوده است که تحت تأثیر عوامل اصلی فعال‌سازی قرار دارد. این امر منجر به فعال شدن مجدد تعدادی از زمین‌لغزش‌های کوچک در سطح این توده لغزشی شده است.

در آخرین مرحله از پردازش تصاویر راداری ASAR و در صورتی که بتوان جفت‌های تداخل‌سنجدی مناسبی بین تاریخ‌های مختلف تصاویر اخذ شده ایجاد کرد، امکان بررسی میزان جابه‌جایی زمین‌لغزش در زمان اخذ تصاویر مربوط وجود خواهد داشت. بر این اساس میزان جابه‌جایی زمین‌لغزش نقل به کمک پردازش تصاویر ASAR به روش (DInSAR)، در بازه‌های زمانی مختلف برای برخی زوج تصاویر راداری مربوط به سال‌های ۲۰۱۰ و ۲۰۱۱ به‌طور نمونه و در قالب نقشه‌های تبدیل فاز به جابه‌جایی نمایش داده شده است (شکل ۶).

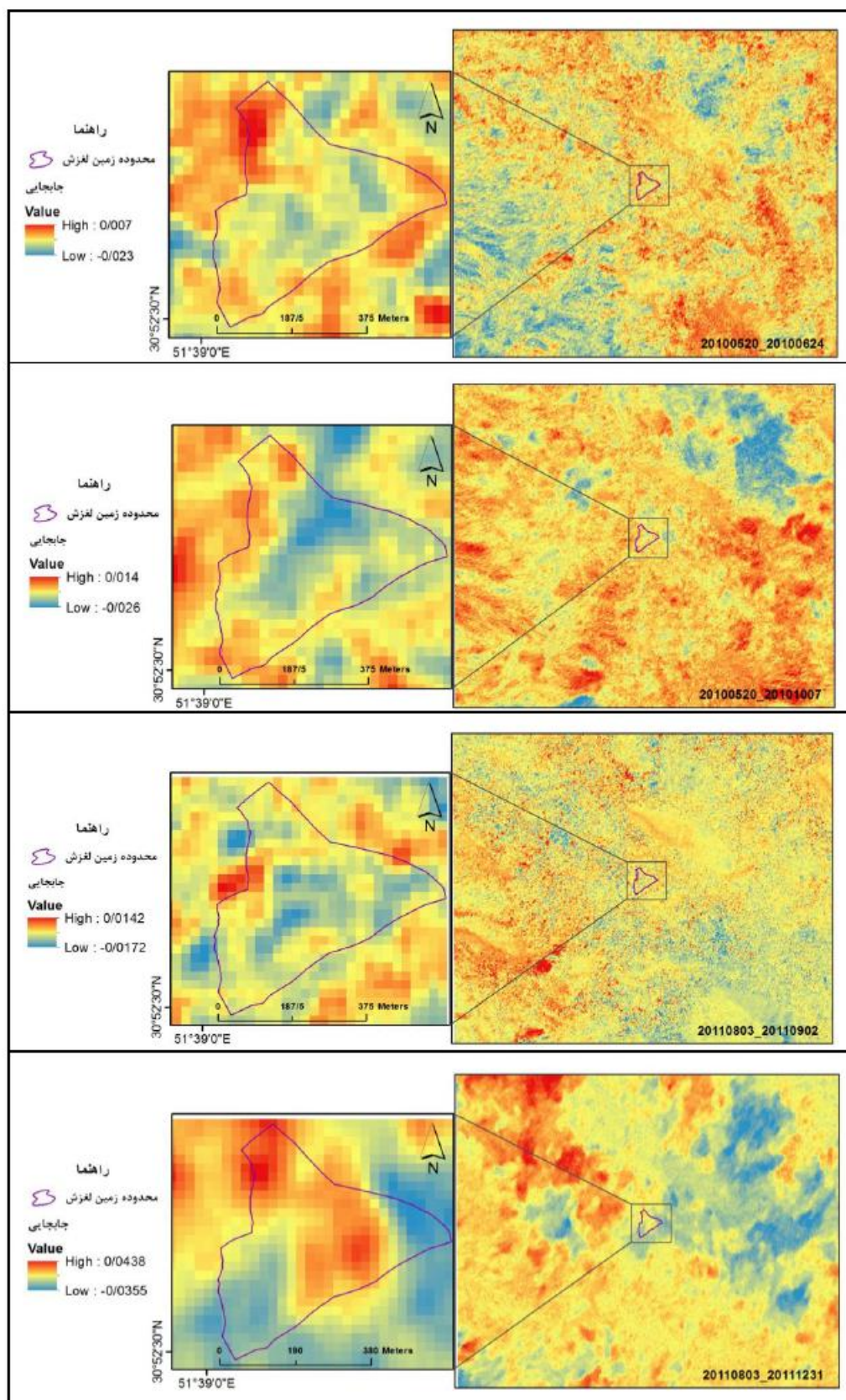
همان‌طور که در شکل ۶ نیز ملاحظه می‌شود، میزان جابه‌جایی در این نقشه‌ها به صورت دامنه‌ای عددی بین مقادیر منفی تا مقادیر مثبت بر حسب متر نشان داده شده است. در تفسیر این نتایج و برآورد میزان جابه‌جایی توده لغزشی، مقادیر منفی نشان‌دهنده میزان فروافتادگی یا کنده‌شدگی در سطح دامنه و مقادیر عددی مثبت گویای انباستگی رسوبات در پای دامنه و در داخل بستر رودخانه است. در این نقشه‌ها رنگ آبی (نشان‌دهنده کنده‌شدگی یا فروافتادگی) و رنگ قرمز نشان‌دهنده انباستگی یا تجمع رسوبات است. همچنین، در این نقشه‌ها محدوده زمین‌لغزش نقل با بزرگ‌نمایی بیشتر و در پنجره‌ای جداگانه مشخص شده است.

با توجه به نقشه‌های تبدیل فاز به جابه‌جایی زمین‌لغزش و تحلیل تصاویر در بازه‌های زمانی مختلف، می‌توان دگردیسی سطح زمین‌لغزش را نیز به خوبی تشریح کرد. بدین‌منظور، در این پژوهش محدوده‌ای از زمین‌لغزش نقل بررسی و تجزیه و تحلیل شد که با توجه به بازدیدهای مکرر میدانی نسبت به سایر قسمت‌ها فعال‌تر به نظر می‌رسید. ضمن پایش میزان جابه‌جایی زمین‌لغزش در طول مدت زمان اخذ تصاویر راداری، نتایج حاکی از افزایش میزان جابه‌جایی زمین‌لغزش، همچنین افزایش گستره و دامنه لغزش به صورت تدریجی و همزمان با افزایش بازه زمانی بین جفت‌های تداخل‌سنجدی تشکیل شده در تاریخ‌های تصاویر مورد استفاده بوده است (شکل ۷).

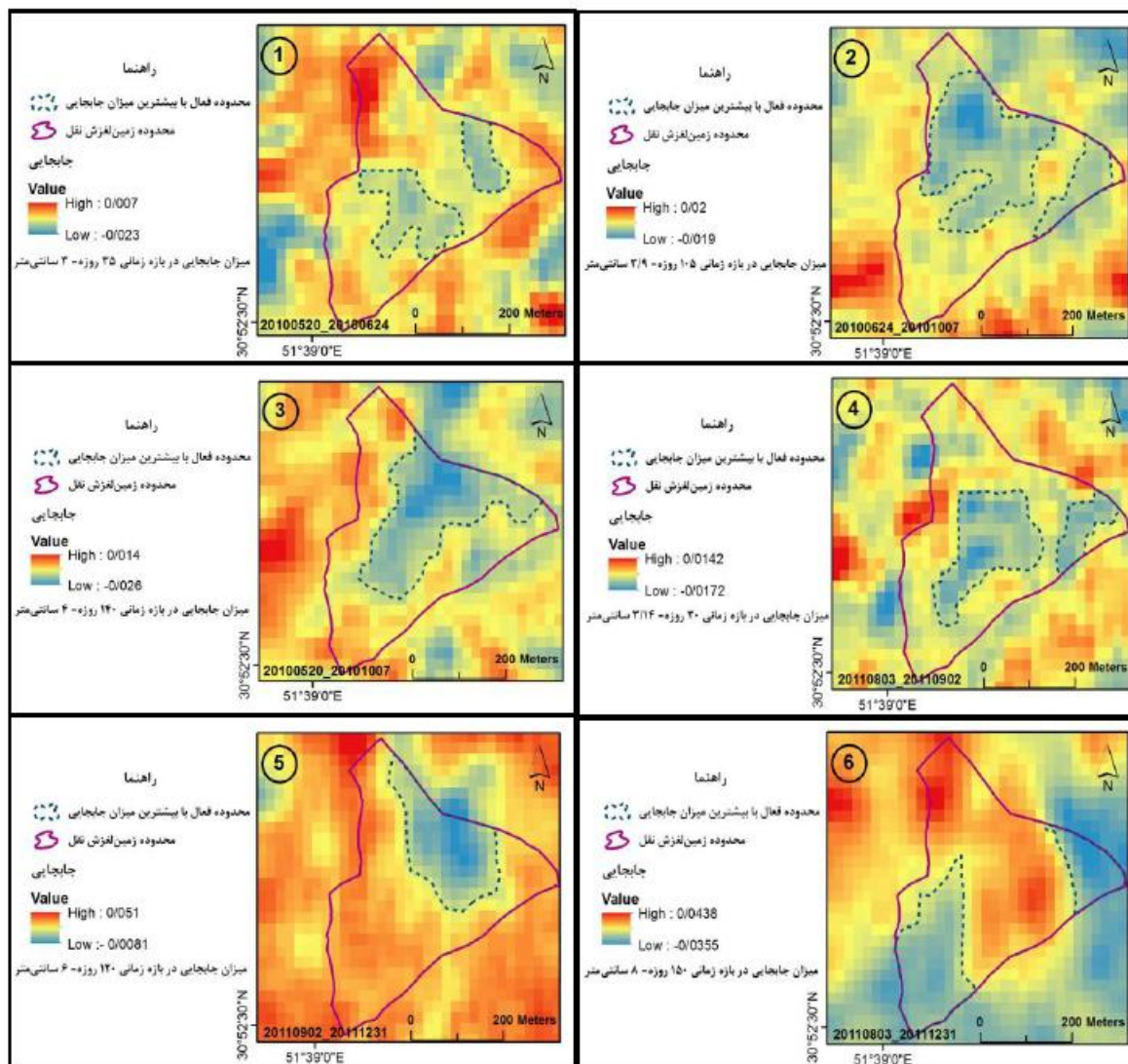
در شکل ۷ محدوده‌هایی با بیشترین میزان جابه‌جایی در سطح توده لغزشی نقل در هر بازه زمانی با خط‌چین روی نقشه‌های تبدیل فاز به جابه‌جایی زمین‌لغزش نشان داده شده است. بر این اساس می‌توان بیان کرد که دامنه زمین‌لغزش نقل، همچنین میزان جابه‌جایی توده لغزشی با توجه به طول مدت زمان بین اخذ تصاویر راداری به‌طور تدریجی گسترش یافته است، به‌طوری که کمترین میزان جابه‌جایی صورت گرفته در سطح این توده لغزشی مربوط به زوج تصویر ۲۰ می ۲۰۱۰ و ۲۰۱۱ با بازه زمانی ۳۵ روزه، به مقدار ۳ سانتی‌متر است (شکل ۷، تصویر ۱) که به‌طور تدریجی، دامنه و محدوده فعالیت لغزش از قسمت‌های شمال و شمال‌شرق توده لغزشی به تدریج به سمت قسمت‌های مرکز و جنوب و در نهایت قسمت‌های جنوب‌غرب توده لغزشی گسترش یافته است. همزمان با گسترش محدوده فعالیت زمین‌لغزش میزان جابه‌جایی نیز افزایش یافته است، به‌طوری که در نهایت بیشترین میزان جابه‌جایی، مربوط به زوج تصویری ۳ در شکل ۷، آگوست ۲۰۱۱ و ۳۱ دسامبر ۲۰۱۱ با بازه زمانی ۱۵۰ روزه و ۸ سانتی‌متری (شکل ۷، تصویر ۲) است (جدول ۲).

همچنین، در جدول ۲ اطلاعات مربوط به تمامی جفت تداخل‌سنجدی‌های انتخابی به‌منظور پایش و برآورد میزان جابه‌جایی زمین‌لغزش در سال‌های ۲۰۰۴، ۲۰۱۰ و ۲۰۱۱ و ارائه شده است. بر این اساس میزان تقریبی متوسط نرخ جابه‌جایی در بین تداخل‌نگارهای تشکیل شده در سال‌های ۲۰۰۴، ۲۰۱۰ و ۲۰۱۱ برای این زمین‌لغزش حدود ۲ سانتی‌متر در ماه است.

أخذ داده‌های DInSAR از داخل توده لغزشی، اطلاعات بنیادی و پسیار مهمی را علاوه‌بر پی‌بردن به وضعیت حرکت توده لغزشی به‌منظور رفتار‌سنجدی و مدل‌سازی آن و نیز پی‌بردن به میزان فعالیت توده لغزشی در طول دوره‌های مختلف زمانی، در رابطه با نوع زمین‌لغزش نیز به‌دست می‌دهد.



شکل ۶. نقشه‌های تبدیل فاز به جابه‌جایی زمین‌لغزش به روش تداخل سنجی تفاضلی تصاویر ASAR در بازه‌های زمانی مختلف مربوط به سال‌های ۲۰۱۰ و ۲۰۱۱



شکل ۷. نقشه‌های گستره‌های زمین‌لغزش نقل در بازه‌های زمانی مختلف در سال ۲۰۱۰ و ۲۰۱۱ تصاویر ASAR

جدول ۲. جفت تداخل‌سنچ‌های انتخابی به منظور پایش جابه‌جایی زمین‌لغزش نقل در سال‌های ۲۰۱۰، ۲۰۱۱ و ۲۰۱۲ تصاویر ASAR

	متوجهه جایی (سانتی‌متر)	میزان جامان (سانتی‌متر)	مدت زمان (روز)	جفت تداخل‌سنچ
۲	۴/۴	۲۵	۲۰۰۴/۰۷/۱۵ - ۲۰۰۴/۰۶/۱۰	
	۴/۷	۱۰۵	۲۰۰۴/۱۰/۲۸ - ۲۰۰۴/۰۷/۱۵	
	۴/۷۲	۱۴۰	۲۰۰۴/۱۰/۲۸ - ۲۰۰۴/۰۶/۱۰	
۱/۷	۳	۲۵	۲۰۱۰/۰۶/۲۴ - ۲۰۱۰/۰۵/۲۰	
	۲/۹	۱۰۵	۲۰۱۰/۱۰/۰۷ - ۲۰۱۰/۰۶/۲۴	
	۴	۱۴۰	۲۰۱۰/۱۰/۰۷ - ۲۰۱۰/۰۵/۲۰	
۱/۸۲	۲/۱۴	۳۰	۲۰۱۱/۰۹/۰۲ - ۲۰۱۱/۰۸/۰۳	
	۶	۱۲۰	۲۰۱۱/۱۲/۳۱ - ۲۰۱۱/۰۹/۰۲	
	۸	۱۵۰	۲۰۱۱/۱۲/۳۱ - ۲۰۱۱/۰۸/۰۳	

همان طور که در شکل ۶ و توضیحات مربوط به نقشه‌های تبدیل فاز به جایه‌جایی زمین‌لغزش نیز به آن اشاره شد، با توجه به اینکه در این نقشه‌ها زون‌های کنده‌شدگی تقریباً متقارن با زون‌های تجمع رسوبات در پای دامنه صورت گرفته است، و با توجه به بازدیدهای میدانی انجام‌شده درخصوص شکل سطح گسیختگی و نوع مصالح لغزش، همچنین با توجه به فعالیت زمین‌لغزش طی چندین مرحله تاکنون، می‌توان بیان کرد که زمین‌لغزش نقل نوعی زمین‌لغزش چرخشی مرکب است.

همچنین، لازم به ذکر است که نتایج حاصل از پردازش داده‌های راداری ASAR در رابطه با تعیین محدوده فعال زمین‌لغزش با بیشترین میزان جایه‌جایی در سطح توده لغزشی نقل و گسترش تدریجی دامنه زمین‌لغزش طی مدت زمان اخذ تصاویر راداری کاملاً با مشاهدات میدانی تطابق دارد. زمین‌لغزش نقل طی چندین مرحله فعالیت داشته و محل زمین‌لغزش‌های قدیمی با خطچین مشکی در قسمت‌های شمال توده لغزشی و منطقه فعلی لغزش با بیشترین میزان جایه‌جایی در سطح این توده لغزشی نشان داده شده است (شکل ۸) که پایش آن نیز در تصاویر راداری بررسی و تحلیل با خطچین زردرنگ و در سمت جنوب توده لغزشی نشان داده شده است. همچنین، بر اساس شکل ۸، جهت حرکت کلی زمین‌لغزش نقل نیز از سمت شرق به غرب و به طرف رودخانه است.

### بحث و نتیجه‌گیری

در پژوهش حاضر از روش پردازش تداخل‌سنجمی تفاضلی راداری (DInSAR) به منظور شناسایی محدوده فعال زمین‌لغزش نقل و محاسبه میزان جایه‌جایی ناشی از حرکت این توده لغزشی استفاده شد. نتایج این پژوهش نشان داد، تصاویر راداری و روش پردازش تداخل‌سنجمی تفاضلی برای شناسایی مناطق فعال ناپایدار دامنه‌ای، همچنین محاسبه میزان جایه‌جایی آن پتانسیل خوبی دارد. در این میان، تصاویر راداری ASAR با توجه به تفکیک (خط مبنای، مکانی و فرکانس بالاتر (باندC)، در تهیه نقشه جایه‌جایی زمین‌لغزش‌های حاصل از تداخل‌سنجمی تفاضلی با جزئیات بیشتر لغزش‌های منطقه توانایی بهتری دارد.

بر اساس نتایج حاصل از پردازش تصاویر راداری ASAR در این پژوهش، بیشترین مقدار جایه‌جایی صورت گرفته در سطح توده لغزشی نقل مربوط به زوج تصویری ۳ آگوست ۲۰۱۱ و ۳۱ دسامبر ۲۰۱۱ با بازه زمانی ۱۵۰ روزه و به میزان ۸ سانتی‌متر برآورد شد. همچنین، متوسط میزان جایه‌جایی در بین تداخل‌نگارهای تشکیل شده در سال‌های ۲۰۱۰ و ۲۰۱۱ برای این زمین‌لغزش حدود ۲ سانتی‌متر در ماه است. با توجه به طول مدت زمان اخذ تصاویر راداری، میزان جایه‌جایی زمین‌لغزش نیز افزایش یافته است و این مسئله بیانگر فعل بودن توده لغزشی نقل طی مدت زمان تصاویر راداری مورد استفاده و گسترش تدریجی دامنه لغزشی از سمت شمال و شمال شرق به سمت مرکز و در نهایت جنوب و جنوب غرب زمین‌لغزش و در امتداد رودخانه ماربر است.



شکل ۸. محدوده فعالیت زمین‌لغزش نقل در دوره‌های مختلف زمانی حاصل از مشاهدات میدانی (دید به سمت شرق). خطچین مشکی محل زمین‌لغزش‌های قدیمی و خطچین زردرنگ بیانگر منطقه فعلی لغزش با بیشترین میزان جایه‌جایی است.

نتایج حاصل از پردازش تداخل‌سنگی تفاضلی تصاویر راداری ASAR به‌ویژه در رابطه با تعیین محدوده‌ای از زمین‌لغزش با بیشترین میزان جابه‌جایی، با مشاهدات میدانی نیز تطابق داشت. بر این اساس نوع زمین‌لغزش نقل با توجه به شکل سطح گسیختگی و جنس مصالح لغزشی حاصل از بازدیدهای میدانی و نیز الگوهای حرکتی و رفتار‌سنگی زمین‌لغزش نقل حاصل از تحلیل نقشه‌های جابه‌جایی زمین‌لغزش، چرخشی مرکب تعیین شد.

### منابع

- خوانین‌زاده، ن. (۱۳۹۰). استفاده از روش تداخل‌سنگی راداری برای مطالعه زمین‌لغزش. گروه مهندسی نقشه‌برداری و نواماتیک، پردیس دانشکده‌های فنی، دانشگاه تهران، ۱۴۸ ص.
- دهقانی، م؛ ولدان زوج، م.ج؛ هارسون، ب. و وايت، ت. (۱۳۸۵). ارزیابی فرونشست زمین در شمال شرق مشهد به‌وسیله فناوری INSAR کنگره زمین‌شناسان ایران، دانشگاه آزاد واحد مشهد.
- روستایی، ش؛ رostایی، م؛ شریفی‌کیا، م. و یار‌احمدی، ج. (۱۳۹۲). کاربرد تداخل‌سنگی تفاضلی راداری در شناسایی و پایش زمین‌لغزش‌ها (مطالعه موردی: حوضه آبخیز گرم‌چای میانه). نشریه مهندسی و مدیریت آبخیز، ۵(۲): ۱۹۰-۱۹۸.
- شیرانی، ک؛ سیف، ع. و شریفی‌کیا، م. (۱۳۹۳). ارزیابی کارایی سنجنده‌های ASAR و PALSAR به کمک تداخل‌سنگی تفاضلی در شناسایی و پایش زمین‌لغزش‌ها در زاگرس. نشریه مهندسی و مدیریت آبخیز، ۶(۳): ۲۸۸-۳۰۱.
- شیرانی، ک. (۱۳۹۲). شناسایی، پایش و سنجش خطرپذیری زمین‌لغزش مبتنی بر تکنیک تصاویر ماهواره‌ای رادار (مطالعه موردی: ارتفاعات دنای زاگرس). رساله دکتری، دانشکده علوم جغرافیایی و برنامه‌ریزی، دانشگاه اصفهان، ۲۶۸ ص.
- Ardizzone, F.; Angeli, M.G.; Calo, F.; Castaldo, R.; Federica, F.; Guzzetti, F.; Lollino, P.; Manconi, A.; Manunta, M. and Manzo, M. (2012). Temporal and spatial analysis of landslides through the SBAS-DInSAR approach: the Ivancich, Assisi, test case, Paper presented at: the EGU General Assembly Conference Abstracts; Vienna, Austria.
- Colesanti, C.; and Wasowski, J. (2006). Investigating landslides with space borne Synthetic Aperture Radar (SAR) interferometry, *Engineering Geology*, 188(3-4): 173-199.
- Dehghani, M.; Valadanjoz, M.J.; Parsons, B. and Weight, T. (2006). Land subsidence evaluation of north-western part of Mashhad by INSAR technique, 26th Iranian's Geology Congress, Islamic Azad University Mashhad Branch. [in Persian]
- Gabriel, A.K.; Goldstein, R.M. and Zebker, H.A. (1989). Mapping small elevation changes over large areas: Differential radar interferometry, *Journal of Geophysical Research*, 94: 9183-9191.
- Herrera, G.; Gutierrez, F.; Garcia-Davalillo, J.C.; Guerrero, J.; Notti, D.; Galve, J.P.; Fernandez-Merodo, J.A. and Cooksley, G. (2013). Multi-sensor advanced DInSAR monitoring of very slow landslides: the Tena Valley case study (Central Spanish Pyrenees), *Remote Sensing Environ*, 128: 31-43.
- Hong, Y.; Adler, R.F. and Huffman, G. (2007). An experimental global prediction system for rainfall-triggered landslides using satellite remote sensing and geospatial datasets, *IEEE Transactions on Geoscience and Remote*, 45: 1671-1680.
- Jebur, M.N.; Pradhan, B. and Tehrany, M.S. (2014). Detection of vertical slope movement in highly vegetated tropical area of Gunung pass landslide, Malaysia, using L-band InSAR technique, *Geosciences Journal*, 18(1): 61-68.
- Khavaninzadeh, N. (2011). Using RADAR interferometry for landslide studying. MSc Thesis, Faculty of Engineering, Tehran University, 145 pp. [in Persian]
- Kimura, H. and Yamaguchi, Y. (2000). Detection of landslide areas using radar interferometry, *Photogrammetric Engineering and Remote Sensing*, 66(3): 337-344.
- Liu, P.; Li, Z.; Hoeya, T.; Kincal, C.; Zhang, J.; Zeng, Q. and Muller, J.P. (2013). Using advanced InSAR time series techniques to monitor landslide movements in Badong of the three Gorges Region, China, *International Journal of Applied Earth Observation and Geoinformation*, 21: 253-264.
- Massonnet, D. and Feigl, K.L. (1998). Radar interferometry and its application to changes in the earth's surface, *Reviews of Geophysics*, 36(4): 441-500.
- Plank, S.; Singer, J.; Minet, C. and Thuro, K. (2010). GIS based suitability evaluation of the Differential Radar Interferometry Method (DInSAR) for detection and deformation monitoring of landslides, Proc. 'Fringe 2009 Workshop', Frascati, Italy.
- Putri, R.; Wibirama, S.; Alimuddin, I.; Kuze, H. and Sumantyo, J. (2013). Monitoring and analysis of landslide Hazard using DInSAR technique applied to ALOS PALSAR imagery: A case study in Kayang catchment area, Yogyakarta, Indonesia, *Journal of Urban and Environmental Engineering*, 7(2): 308-322.
- Riedel, B. and Walther, A. (2008). InSAR processing for the recognition of landslides, *advances in geosciences*, 14: 189-194.
- Rustaei, S.; Rustaei, M.; Sharifkia, M. and Yarahmadi, J. (2013). Application of differential interferometry synthetic aperture RADAR on detection and monitoring landslides, case study: Garmchaei watershed, Miyaneh, *Journal of Watershed Engineering and Management*, 5(3): 190-198. [in Persian]
- Shirani, K. (2013). Detection, monitoring and landslide risk assessment by using RADAR satellite images, Case study: Dena Mountains, University of Isfahan, PhD Thesis, 268 pp. [in Persian]
- Shirani, K.; Seif, A. and Sharifkia, M. (2014). ASAR and PALSAR sensors assessment for landslide detection, monitoring using differential interferometry in Zagros Mountains, *Jornal of Watershed Engineering and*

- Management, 6(3): 288-301. [in Persian]  
Singhroy, V. and Molch, K. (2004). Characterizing and monitoring rockslides from SAR techniques, Advances in Space Research, 33: 290- 295.  
Zhao, C.; Lu, Z.; Zhang, Q. and Fuente, J. (2012). Large-area landslide detection and monitoring with ALOS/PALSAR imagery data over Northern California and Southern Oregon. USA, Remote Sensing of Environment, 124: 348-359.